

РОЖДЕНИЕ ГЛЮОНОВ В КВАЗИМУЛЬТИРЕДЖЕВСКОЙ КИНЕМАТИКЕ

Л.Н.Липатов, В.С.Фадин

Получены амплитуды рождения глюонов в квазимультиреджевской кинематике, позволяющие найти поправки к глюонной траектории Редже, вершине испускания глюона из реджеона и ядру уравнения для парциальных волн вакуумного канала.

В гла^зном логарифмическом приближении (ГЛП) в КХД t -канальные парциальные волны выржаются через амплитуду глюон-глюонного рассеяния вне массовой поверхности, удовлетворяющую уравнению типа Бете–Солпитера^{1, 2}. Это уравнение допускает явное решение благодаря конформной инвариантности в двухмерном пространстве прицельных параметров³. С учетом "бегучести" константы связи в³ были вычислены траектории затравочных померонов при больших передачах импульса и даны ограничения на их интерсепты.

Чтобы определить область применимости этих результатов, нужно найти поправки к ГЛП. Здесь мы приводим амплитуды неупругого глюон-глюонного рассеяния в борновском приближении для квазимультиреджевской кинематики (КМРК). Мы называем КМРК такую конфигурацию частиц в конечном состоянии, когда все частицы, за исключением одной пары, имеют большие относительные энергии $\sqrt{s_{ij}}$ и фиксированные поперечные импульсы $k_{i\perp}$, а инвариантная масса упомянутой пары частиц имеет тот же порядок величины, что и $k_{i\perp}$. Ниже будет показано, что полученные результаты позволяют определить поправки к глюонной траектории Редже, вершине испускания глюона реджеоном и к интегральному ядру уравнения Бете–Солпитера.

В литературе имеются общие выражения для спиральных амплитуд глюонных процессов вплоть до шести внешних глюонов⁴. Однако использование их довольно сложно из-за громоздкости общих выражений и перехода от спирального базиса к более подходящей для наших целей тензорной форме. Оказалось удобней стартовать с дуальных амплитуд, упрощая их в области больших энергий \sqrt{s} и затем переходя к полевому пределу $\alpha' \rightarrow 0$ (ср.⁵).

Простейший процесс в КМРК – рождение добавочного глюона в области фрагментации начального глюона (рис. 1, где приведены все обозначения) :

$$s \equiv -2k_0 p \sim 2k_1 p \sim 2k_2 p; \quad -t \equiv 2pp' \sim -2k_0 k_1 \sim -2k_0 k_2 \ll s. \quad (1)$$

В ней s -канальная спиральность частицы-мишени сохраняется и амплитуда зависит только от ее цветового спина. Поэтому мы не указываем ее спиновых индексов. Амплитуда процесса имеет вид

$$A_{a_0 a_1 a_2 a a'}^{\mu_0 \mu_1 \mu_2} = \frac{4g^3}{t} T_{a' a}^b \sum_j T_{a_0 a_1}^c T_{a_1 b}^c \Delta^{\mu_0 \mu_1}(k_0, k_1, p) D^{\mu_2}(k_0, k_1, k_2). \quad (2)$$

Здесь T^i – генераторы цветовой группы в присоединенном представлении, суммирование идет по всем перестановкам индексов (0, 1, 2);

$$\Delta^{\mu\nu}(k, q, p) = g^{\mu\nu} - \frac{q^\mu p^\nu}{(qp)} - \frac{p^\mu k^\nu}{(kp)} + (kq) \frac{p^\mu p^\nu}{(kp)(qp)}, \quad (3)$$

$$D(k_0, k_1, k_2) = \frac{1}{(k_0, k_1)} [(k_1 k_2 + \frac{t}{2} \frac{k_1 p}{k_2 p}) p + \frac{k_1 p}{k_0 k_2} (k_1 k_2 - \frac{t}{2}) k_0 - (p(k_1 + k_2)) k_1].$$

Из (2), (3) очевидно, что амплитуда $A^{2 \rightarrow 3}$ инвариантна относительно градиентного преобразования любого из векторов поляризации $e(k_i) \rightarrow e(k_i) + ck_i$, независимо от значений других векторов. Подчеркнем, что при этом амплитуда не имеет одновременных полюсов в перекрывающихся каналах.

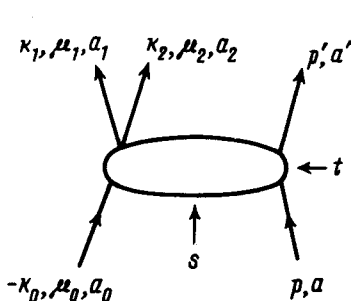


Рис. 1

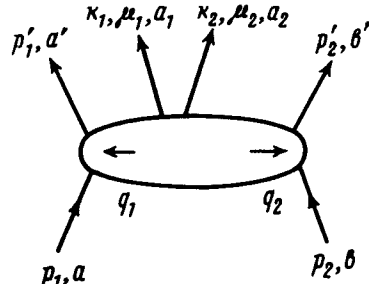


Рис. 2

При стремлении поперечного импульса одного из родившихся глюонов к нулю или бесконечности амплитуда $A^{2 \rightarrow 3}$ обратно пропорциональна модулю этого импульса, что обеспечивает логарифмическое поведение полного сечения. В мультиреджевском пределе амплитуда (2) переходит в известное факторизованное выражение¹.

Рассмотрим процесс рождения двух добавочных глюонов при глюонном рассеянии (рис. 2) в кинематической области

$$s \equiv 2p_1 p_2 \gg s_{ij} \equiv 2p_i k_j \gg \kappa \equiv 2k_1 k_2 \sim -t_i \equiv 2p_i p_i, \sim -t \equiv -(p_i - p_{i'} - k_i)^2; \\ s_{1i} s_{2j} \sim \kappa s; \quad i, j = 1, 2. \quad (4)$$

Здесь сохраняются спиральности обоих рассеивающихся частиц и амплитуда зависит только от их цветовых спинов. Она представляется в виде:

$$A_{a_0 a_1 a_2 a a' b b'}^{\mu_0 \mu_1 \mu_2} = 2sg^4 \frac{T_{a' a}^i}{t_1} \left[T_{ij}^{a_1} T_{jk}^{a_2} A^{\mu_1 \mu_2} + \begin{pmatrix} k_1 \leftrightarrow k_2 \\ \mu_1 \leftrightarrow \mu_2 \\ a_1 \leftrightarrow a_2 \end{pmatrix} \right] \frac{T_b^k b}{t_2}, \quad (5)$$

где тензор $A^{\mu_1 \mu_2}$ ортогонален векторам k_1 и k_2 соответственно, что обеспечивает такую же как в абелевой теории градиентную инвариантность амплитуды $A^{2 \rightarrow 4}$, аналогично $A^{2 \rightarrow 3}$. Чтобы сделать явной указанную инвариантность введем ортогональные k_i векторы

$$a_i = -2[q_i + (\frac{s_{ii}}{s} + \frac{t_i}{s_{ii}})p_i - \frac{s_{ii}}{s}p_j - \frac{t}{\kappa}k_j], \quad (6)$$

$$b_i = 2(p_j - \frac{s_{ii}}{\kappa}k_j), \quad c_i = 2(p_i - \frac{s_{ii}}{\kappa}k_j); \quad i, j = 1, 2; \quad i \neq j.$$

При этом

$$\begin{aligned} A^{\mu\nu} = & \frac{-a_1^\mu a_2^\nu}{t} + \frac{b_1^\mu b_2^\nu}{s} \left(1 + \frac{s_{11}s_{22}}{st}\right) + \frac{b_1^\mu c_2^\nu}{s} \left(\tau_2 \frac{s}{s_{22}} - \frac{s_{11}s_{12}}{st}\right) + \\ & + \frac{c_1^\mu b_2^\nu}{s} \left(\tau_1 \frac{s}{s_{11}} - \frac{s_{22}s_{21}}{st}\right) - \left(\frac{c_1^\mu c_2^\nu}{s} + h^{\mu\nu} \frac{t}{\kappa}\right) \left(1 + \frac{\kappa}{t} - \frac{s_{12}s_{21}}{st}\right) - \\ & - h^{\mu\nu} \left(\frac{s_{11}s_{22}}{\kappa s} - \tau_1 \frac{s_{12}}{s} - \tau_2 \frac{s_{21}}{s} + \frac{s_{11}s_{22}}{st}\right), \end{aligned} \quad (7)$$

где

$$h^{\mu\nu} \equiv 2(g^{\mu\nu} - \frac{2k_2^\mu k_1^\nu}{\kappa}), \quad \tau_i \equiv \frac{t_i}{(s_{i1} + s_{i2})}. \quad (8)$$

На первый взгляд, в амплитуде (5) присутствуют одновременные полюсы в перекрывающихся каналах, а также полюсы второго порядка. Однако в сумме они сокращаются и остаются только особенности, соответствующие фейнмановским диаграммам. В мультиреджевском пределе амплитуда (5) факторизуется и совпадает с известным выражением¹. В области малых или больших $|q_{i\perp}|$ амплитуда $A^{2 \rightarrow 4} \sim |q_{i\perp}|^{-1}$, так что полное сечение имеет логарифмический характер. Вычеты амплитуды (5) в полюсах $t_i = 0$ выражаются через амплитуду (2):

$$t_i A_{a_1 a_2 b_1 b'_1 b_2 b'_2}^{\mu_1 \mu_2} |_{t_i=0} = 2g T_{b'_1 b'_2}^{q_0}(p_j)_{\mu_0} A_{a_1 a_2 b_f b'_f}^{\mu_0 \mu_1 \mu_2} \left(\frac{k_0 \rightarrow q_j}{p \rightarrow p_f} \right), \quad (9)$$

где $i, j = 1, 2; \quad i \neq j$.

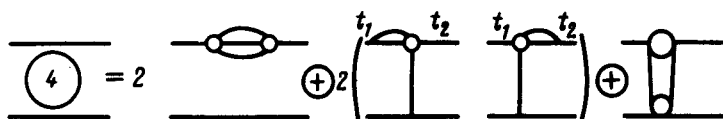


Рис. 3

Знание полученных амплитуд необходимо для вычисления поправок к ГЛП. В самом деле, рассмотрим поправочные члены ($\sim g^4$) в уравнении ГЛП¹, схематически изображенные на рис. 3. Первый член в правой части представляет поправку к глюонной траектории Редже. Для того, чтобы найти трехчастичный вклад в ее мнимую часть, нужно знать¹ $A^{2 \rightarrow 3}$ в КМРК (соответствующий двухчастичный вклад находится при помощи t -канального условия унитарности итерацией борновской амплитуды глюон-глюонного рассеяния). Поправка к эффективной вершине испускания глюона Реджеоном (второй член) может быть вычислена из t_1 и t_2 -канальных условий унитарности опять же с использованием² $A^{2 \rightarrow 3}$. И, наконец, поправка к интегральному ядру уравнения содержит произведение двух тензоров $A^{\mu\nu}$, через которые выражается амплитуда $A^{2 \rightarrow 4}$ (третий член). Мы надеемся опубликовать результаты вычисления этих поправок в ближайшем будущем.

Авторы благодарны Э.А.Кураеву, А.Х.Мюллеру, А.Р.Уайту, С.Д.Парку за полезные обсуждения.

Литература

1. *Fadin V.S., Kuraev E.A., Lipatov L.N.* Phys. Lett. B, 1975, **60**, 50.
2. *Балицкий Я.Я., Липатов Л.Н.* ЯФ, 1978, **28**, 1597.
3. *Липатов Л.Н.* ЖЭТФ, 1986, **90**, 1536.
4. *Berends F.A., Giele W.T.* Nucl. Phys. B, 1987, **294**, 700; *Mangano M., Parke S.J., Xu Z.* Nucl. Phys. B, 1988, **298**, 653.
5. *Lipatov L.N.* Nucl. Phys., B, 1988, **307**, 705.

Институт ядерной физики

Сибирское отделение Академии наук СССР

Поступила в редакцию

13 февраля 1989 г.